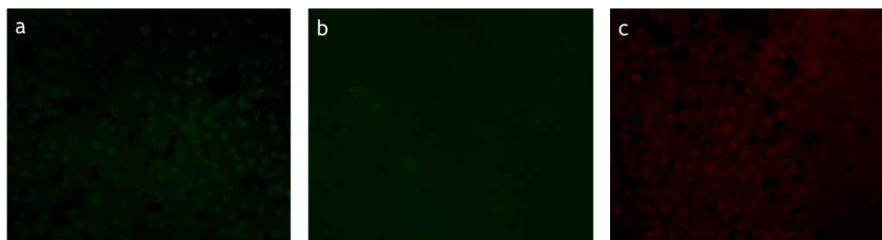
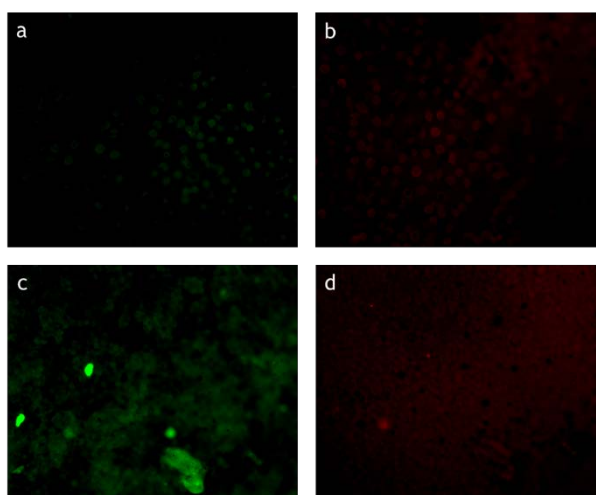


## ANEXOS

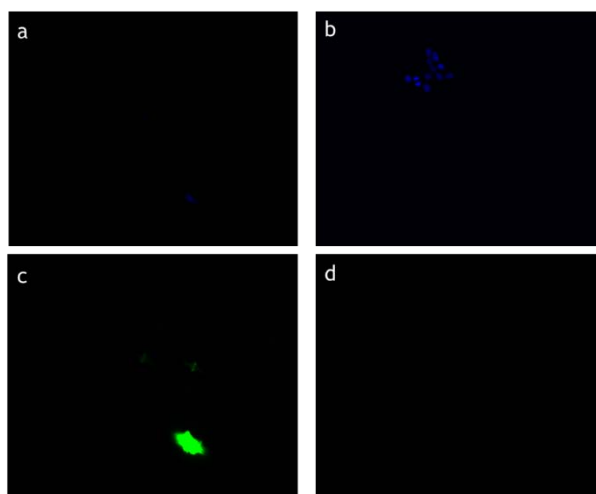
### IMÁGENES OBTENIDAS MEDIANTE MICROSCOPÍA DE FLUORESCENCIA



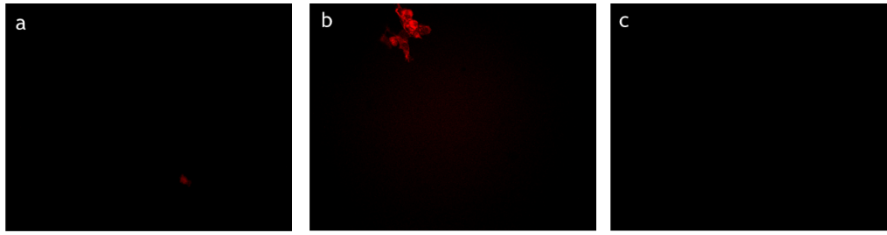
*Figura Anexo 1.* Imágenes obtenidas mediante microscopía de fluorescencia de los fibroblastos cultivados sobre los *films* de PGS fabricados siguiendo el protocolo estándar, tras la tinción con falacidina (tiñe el citoesqueleto) y anticuerpo anti-vimentina (marca las adhesiones focales entre células vecinas). Las imágenes a y b corresponden a la tinción con falacidina tras tiempos de cultivo de 5 horas y 4 días, respectivamente. La imagen c pertenece a la tinción con vimentina para un tiempo de cultivo de 4 días.



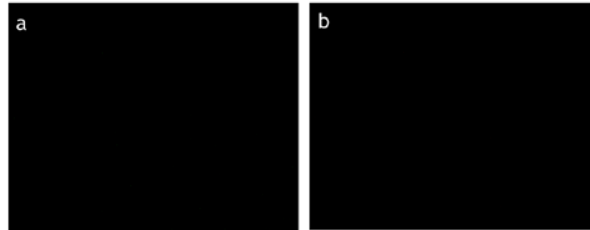
*Figura Anexo 2.* Imágenes obtenidas mediante microscopía de fluorescencia de los fibroblastos cultivados sobre los *films* de PGS fabricados manteniendo un tiempo de curado de 96 horas, tras la tinción con falacidina (tiñe el citoesqueleto) y anticuerpo anti-vimentina (marca las adhesiones focales entre células vecinas). Las imágenes a y c corresponden a la tinción con falacidina tras tiempos de cultivo de 5 horas y 4 días, respectivamente. Las imágenes b y d, en su caso, pertenecen a la tinción con vimentina para dichos tiempos de cultivo, respectivamente.



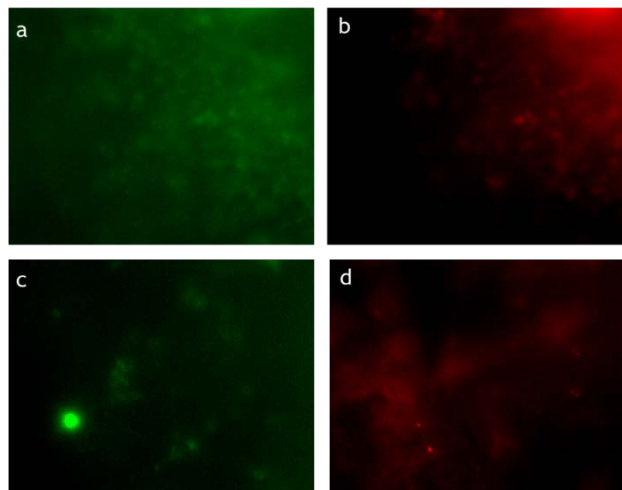
*Figura Anexo 3.* Imágenes obtenidas mediante microscopía de fluorescencia de los fibroblastos cultivados sobre los *films* de PGS fabricados manteniendo una temperatura de curado de 150 °C, tras la tinción con DAPI (que tiñe el núcleo celular) y falacidina (que tiñe el citoesqueleto). Las imágenes a y b corresponden a la tinción con DAPI tras tiempos de cultivo de 5 horas y 4 días, respectivamente. Las imágenes c y d, en su caso, pertenecen a la tinción con falacidina para dichos tiempos de cultivo, respectivamente.



*Figura Anexo 4.* Imágenes obtenidas mediante microscopía de fluorescencia de los fibroblastos cultivados sobre los *films* de PGS fabricados manteniendo una temperatura de curado de 150 °C, tras la adición del anticuerpo anti-vimentina (marca las uniones focales entre células vecinas). Las imágenes a, b y c corresponden a la tinción tras tiempos de cultivo de 5 horas, 4 días y 7 días, respectivamente.



*Figura Anexo 5.* Imágenes obtenidas mediante microscopía de fluorescencia de los fibroblastos cultivados sobre los *films* de PGS fabricados con una proporción doble de ácido sebácico con respecto a la síntesis estándar, tras la tinción con falacidina (que tiñe el citoesqueleto) y vimentina (que marca las uniones focales entre las células vecinas). La imagen a corresponde a la tinción con falacidina para el experimento tras 5 horas de cultivo, mientras que la imagen b corresponde a la tinción inmunocitoquímica con anticuerpo anti-vimentina para este tiempo de cultivo.



*Figura Anexo 6.* Imágenes obtenidas mediante microscopía de fluorescencia de los fibroblastos cultivados sobre los *films* de PGS fabricados con una proporción doble de ácido sebácico con respecto a la síntesis estándar, tras la tinción con falacidina (tiñe el citoesqueleto) y anticuerpo anti-vimentina (marca las adhesiones focales entre células vecinas). Las imágenes a y c corresponden a la tinción con falacidina tras tiempos de cultivo de 4 y 7 días, respectivamente. Las imágenes b y d, en su caso, pertenecen a la tinción con vimentina para dichos tiempos de cultivo, respectivamente.

## ANÁLISIS ESTADÍSTICO

Tabla Anexo 1. Análisis de la varianza (ANOVA) del ensayo de degradación en agua para un tiempo de 2 semanas.

Fuente	Suma de Cuadrados	Gl	Cuadrado Medio	Razón-F	Valor-P
Entre grupos	18,9969	3	6,33231	4,69	0,0357
Intra grupos	10,7932	8	1,34915		
Total (Corr.)	29,7901	11			

Tabla Anexo 2. Prueba de múltiples rangos del ensayo de degradación en agua mili-Q para un tiempo de 2 semanas.

Método: 95,0 porcentaje LSD

	Casos	Media	Grupos Homogéneos
Col_4	3	0,724524	x
Col_1	3	2,15329	xx
Col_2	3	2,46707	xx
Col_3	3	4,26004	x

Contraste	Sig.	Diferencia	+/- Límites
Col_1 - Col_2		-0,313781	2,18698
Col_1 - Col_3		-2,10674	2,18698
Col_1 - Col_4		1,42877	2,18698
Col_2 - Col_3		-1,79296	2,18698
Col_2 - Col_4		1,74255	2,18698
Col_3 - Col_4	*	3,53551	2,18698

\* indica una diferencia significativa.

Tabla Anexo 3. Análisis de la varianza (ANOVA) del ensayo de degradación en NaOH 0,01 M para un tiempo de 2 semanas.

Fuente	Suma de Cuadrados	Gl	Cuadrado Medio	Razón-F	Valor-P
Entre grupos	131,536	3	43,8454	5,62	0,0280
Intra grupos	54,6328	7	7,80469		
Total (Corr.)	186,169	10			

Tabla Anexo 4. Prueba de múltiples rangos del ensayo de degradación en NaOH 0,01 M para un tiempo de 2 semanas.

Método: 95,0 porcentaje LSD

	Casos	Media	Grupos Homogéneos
Col_3	2	1,22352	x
Col_2	3	1,41711	x
Col_1	3	3,02282	x
Col_4	3	9,5756	x

Contraste	Sig.	Diferencia	+/- Límites
Col_1 - Col_2		1,60572	5,39381
Col_1 - Col_3		1,7993	6,03046
Col_1 - Col_4	*	-6,55278	5,39381
Col_2 - Col_3		0,193589	6,03046
Col_2 - Col_4	*	-8,1585	5,39381
Col_3 - Col_4	*	-8,35208	6,03046

\* indica una diferencia significativa.

*Tabla Anexo 5.* Análisis de la varianza (ANOVA) del ensayo de degradación en medio de cultivo para fibroblastos para un tiempo de 2 semanas.

<i>Fuente</i>	<i>Suma de Cuadrados</i>	<i>Gl</i>	<i>Cuadrado Medio</i>	<i>Razón-F</i>	<i>Valor-P</i>
Entre grupos	51,1441	3	17,048	1,34	0,3275
Intra grupos	101,6	8	12,7		
Total (Corr.)	152,744	11			

*Tabla Anexo 6.* Prueba de múltiples rangos del ensayo de degradación en medio de cultivo para fibroblastos para un tiempo de 2 semanas.

Método: 95,0 porcentaje LSD

	<i>Casos</i>	<i>Media</i>	<i>Grupos Homogéneos</i>
Col_2	3	1,75037	X
Col_1	3	3,87068	X
Col_3	3	4,34822	X
Col_4	3	7,52211	X

<i>Contraste</i>	<i>Sig.</i>	<i>Diferencia</i>	<i>+/- Límites</i>
Col_1 - Col_2		2,12031	6,70991
Col_1 - Col_3		-0,477542	6,70991
Col_1 - Col_4		-3,65143	6,70991
Col_2 - Col_3		-2,59785	6,70991
Col_2 - Col_4		-5,77174	6,70991
Col_3 - Col_4		-3,17389	6,70991

\* indica una diferencia significativa.

*Tabla Anexo 7.* Análisis de la varianza (ANOVA) del ensayo de degradación en agua mili-Q para un tiempo de 1 mes.

<i>Fuente</i>	<i>Suma de Cuadrados</i>	<i>Gl</i>	<i>Cuadrado Medio</i>	<i>Razón-F</i>	<i>Valor-P</i>
Entre grupos	11,316	3	3,772	5,20	0,0277
Intra grupos	5,79864	8	0,724829		
Total (Corr.)	17,1146	11			

*Tabla Anexo 8.* Prueba de múltiples rangos del ensayo de degradación en agua mili-Q para un tiempo de 1 mes.

Método: 95,0 porcentaje LSD

	<i>Casos</i>	<i>Media</i>	<i>Grupos Homogéneos</i>
Col_4	3	2,3119	X
Col_1	3	2,69287	X
Col_2	3	3,60155	XX
Col_3	3	4,83311	X

<i>Contraste</i>	<i>Sig.</i>	<i>Diferencia</i>	<i>+/- Límites</i>
Col_1 - Col_2		-0,908685	1,603
Col_1 - Col_3	*	-2,14025	1,603
Col_1 - Col_4		0,380972	1,603
Col_2 - Col_3		-1,23156	1,603
Col_2 - Col_4		1,28966	1,603
Col_3 - Col_4	*	2,52122	1,603

\* indica una diferencia significativa.

Tabla Anexo 9. Análisis de la varianza (ANOVA) del ensayo de degradación en NaOH 0,01 M para un tiempo de 1 mes.

Fuente	Suma de Cuadrados	Gl	Cuadrado Medio	Razón-F	Valor-P
Entre grupos	18573,4	3	6191,14	1127,47	0,0000
Intra grupos	32,9469	6	5,49115		
Total (Corr.)	18606,4	9			

Tabla Anexo 10. Prueba de múltiples rangos del ensayo de degradación en NaOH 0,01 M para un tiempo de 1 mes.

Método: 95,0 porcentaje LSD

	Casos	Media	Grupos Homogéneos
Col_3	2	3,01539	X
Col_2	2	5,18151	XX
Col_1	3	8,66958	X
Col_4	3	100,0	X

Contraste	Sig.	Diferencia	+/- Límites
Col_1 - Col_2		3,48807	5,23432
Col_1 - Col_3	*	5,65419	5,23432
Col_1 - Col_4	*	-91,3304	4,68172
Col_2 - Col_3		2,16612	5,73392
Col_2 - Col_4	*	-94,8185	5,23432
Col_3 - Col_4	*	-96,9846	5,23432

\* indica una diferencia significativa.

Tabla Anexo 11. Análisis de la varianza (ANOVA) del ensayo de degradación en medio de cultivo para fibroblastos para un tiempo de 2 semanas.

Fuente	Suma de Cuadrados	Gl	Cuadrado Medio	Razón-F	Valor-P
Entre grupos	1096,59	3	365,531	38,90	0,0003
Intra grupos	56,3774	6	9,39624		
Total (Corr.)	1152,97	9			

Tabla Anexo 12. Prueba de múltiples rangos del ensayo de degradación en medio de cultivo para fibroblastos para un tiempo de 1 mes.

Método: 95,0 porcentaje LSD

	Casos	Media	Grupos Homogéneos
Col_2	3	3,54018	X
Col_1	2	6,14143	X
Col_3	2	6,41996	X
Col_4	3	27,8223	X

Contraste	Sig.	Diferencia	+/- Límites
Col_1 - Col_2		2,60126	6,84709
Col_1 - Col_3		-0,278524	7,50061
Col_1 - Col_4	*	-21,6808	6,84709
Col_2 - Col_3		-2,87978	6,84709
Col_2 - Col_4	*	-24,2821	6,12422
Col_3 - Col_4	*	-21,4023	6,84709

\* indica una diferencia significativa.